

**Controlli Automatici - Prima parte**  
**10 Aprile 2017 - Esercizi**

Nome:	
Nr. Mat.	
Firma:	
C.L.:	Info.    Elet.    Telec.    Altro.

Si risolvano i seguenti esercizi.

a.1) Calcolare la trasformata di Laplace  $X(s)$  dei seguenti segnali temporali  $x(t)$ :

$$x_1(t) = [t^3 - 4 \sin(3t)] e^{-2t},$$

$$x_2(t) = 5\delta(t) + 2 e^{-3t} \cos(5t)$$

Soluzione:

$$X_1(s) = \frac{6}{(s+2)^4} - \frac{12}{(s+2)^2 + 3^2},$$

$$X_2(s) = 5 + \frac{2(s+3)}{(s+3)^2 + 5^2}.$$

a.2) Calcolare la risposta impulsiva  $g_i(t)$  delle seguenti funzioni di trasferimento  $G_i(s)$ :

$$G_1(s) = \frac{8}{s^2(s+2)},$$

$$G_2(s) = 4 e^{-5s} + \frac{3}{s^2 + 81}$$

Soluzione:

$$g_1(t) = -2 + 4t + 2e^{-2t},$$

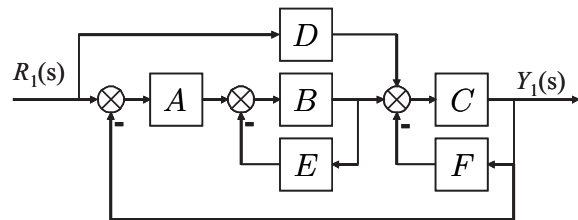
$$g_2(t) = 4 \delta(t - 5) + \frac{1}{3} \sin(9t)$$

Infatti, per la funzione  $G_1(s)$  si ha:

$$\mathcal{L}^{-1} [G_1(s)] = \mathcal{L}^{-1} \left[ \frac{8}{s^2(s+2)} \right] = \mathcal{L}^{-1} \left[ -\frac{2}{s} + \frac{44}{s^2} + \frac{2}{(s+2)} \right] = -2 + 4t + 2e^{-2t}$$

b) Relativamente allo schema a blocchi di figura, calcolare la funzione di trasferimento  $G(s) = \frac{Y_1(s)}{R_1(s)}$ :

$$G(s) = \frac{ABC + DC(1 + BE)}{1 + BE + CF + ABC + BECF}$$



c) I diagrammi riportati sotto sono relativi a due sistemi a fase minima  $G_1(s)$  e  $G_2(s)$ .

Per ciascuno dei due sistemi e nei limiti della precisione consentita dai grafici, calcolare:

c.1) il margine di ampiezza  $M_a$  del sistema;

c.2) il margine di fase  $M_\varphi$  del sistema;

c.3) il guadagno  $K_\alpha$  per cui il sistema  $K_\alpha G(s)$  ha un margine di ampiezza  $M_\alpha = 10$ ;

c.4) la risposta a regime  $y_r(t)$  del sistema  $G(s)$  ad un ingresso sinusoidale  $x(t) = 2 \cos(3.9t)$ ;



d.2) Tracciare i diagrammi asintotici di Bode delle ampiezze e delle fasi della funzione  $G(s)$ .  
Soluzione. I diagrammi “asintotici” di Bode della funzione  $G_d(s)$  sono mostrati in Fig. 1.

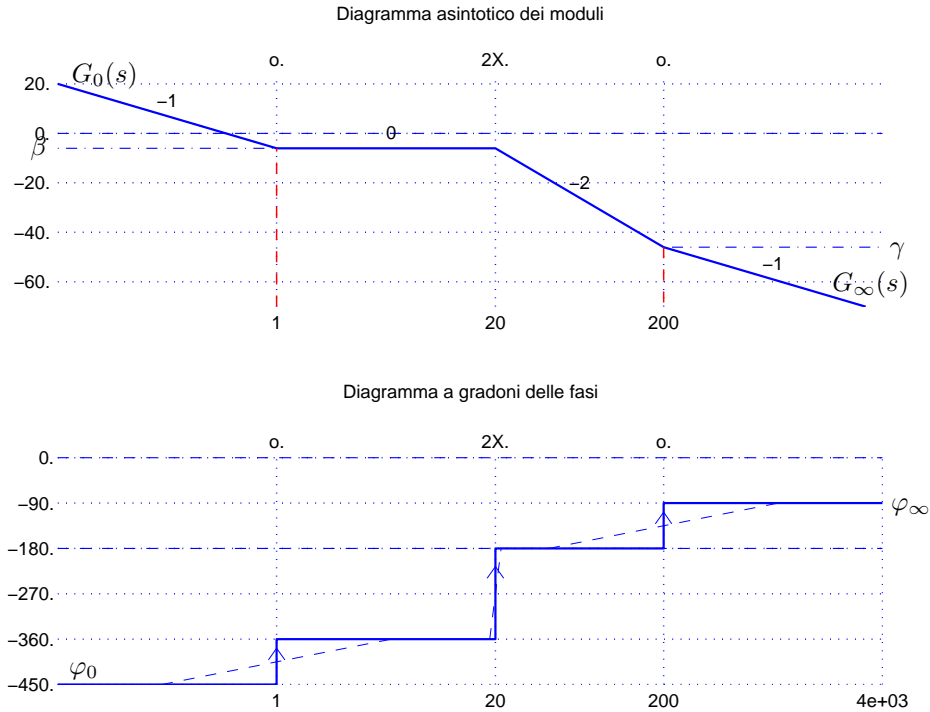


Figura 1: Diagrammi asintotici di Bode della funzione  $G_d(s)$ .

I diagrammi di Bode delle ampiezze e delle fasi della funzione  $G(s)$  sono mostrati in Fig. 2. Le funzioni approssimanti  $G_0(s)$  e  $G_\infty(s)$  per  $\omega \rightarrow 0$  ed  $\omega \rightarrow \infty$  sono le seguenti:

$$G_0(s) = \frac{1}{2s}, \quad G_\infty(s) = \frac{1}{s}.$$

Le corrispondenti fasi  $\varphi_0$  e  $\varphi_\infty$  hanno il seguente valore:

$$\varphi_0 = -\frac{\pi}{2} \equiv -\frac{5\pi}{2}, \quad \varphi_\infty = -\frac{\pi}{2}.$$

Sul diagramma asintotico delle ampiezze il guadagno  $\beta$  alla pulsazione  $\omega = 1$  e il guadagno  $\gamma$  alla pulsazione  $\omega = 200$  sono:

$$\beta = |G_0(s)|_{s=1} = \frac{1}{2} = -6 \text{ db}, \quad \gamma = |G_\infty(s)|_{s=200} = \frac{1}{200} = -46 \text{ db}.$$

Il coefficiente di smorzamento della coppia di poli instabili è  $\delta = 2/(2\omega_n) = 2/40 = 0.05$ .

d.3) Disegnare qualitativamente il diagramma di Nyquist “completo” della funzione  $G(s)$ . Calcolare esattamente la posizione  $\sigma_a$  di un eventuale asintoto verticale, le eventuali intersezioni  $\sigma_i^*$  con l’asse reale e i corrispondenti valori delle pulsazioni  $\omega_i^*$ .

Soluzione. Il diagramma di Nyquist della funzione  $G(s)$  è mostrato in Fig. 3.

La fase iniziale del sistema è  $\varphi_0 = -\frac{\pi}{2}$ . Per  $\omega \rightarrow 0^+$  il diagramma parte in anticipo rispetto a tale fase in quanto la somma delle costanti di tempo del sistema è positiva:

$$\Delta\tau = 1 + \frac{1}{200} + \frac{2}{400} = 1.01 > 0.$$

Il sistema è di tipo 1 per cui esiste un asintoto:

$$\sigma_a = K\Delta\tau = 0.5 \cdot 1.01 = 0.505.$$

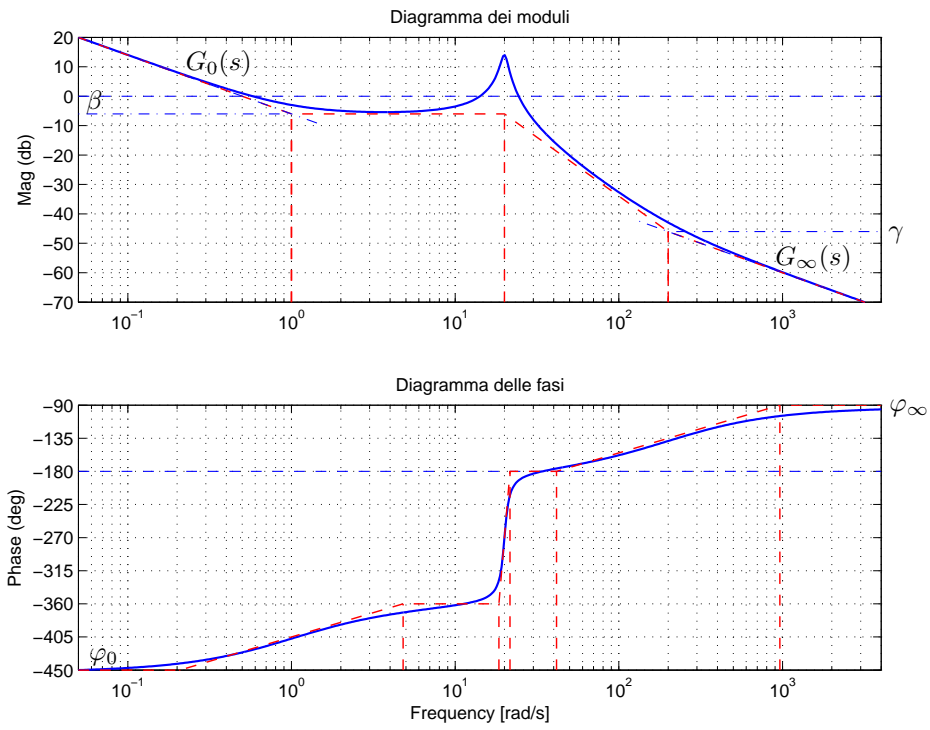


Figura 2: Diagrammi di Bode della funzione  $G(s)$ .

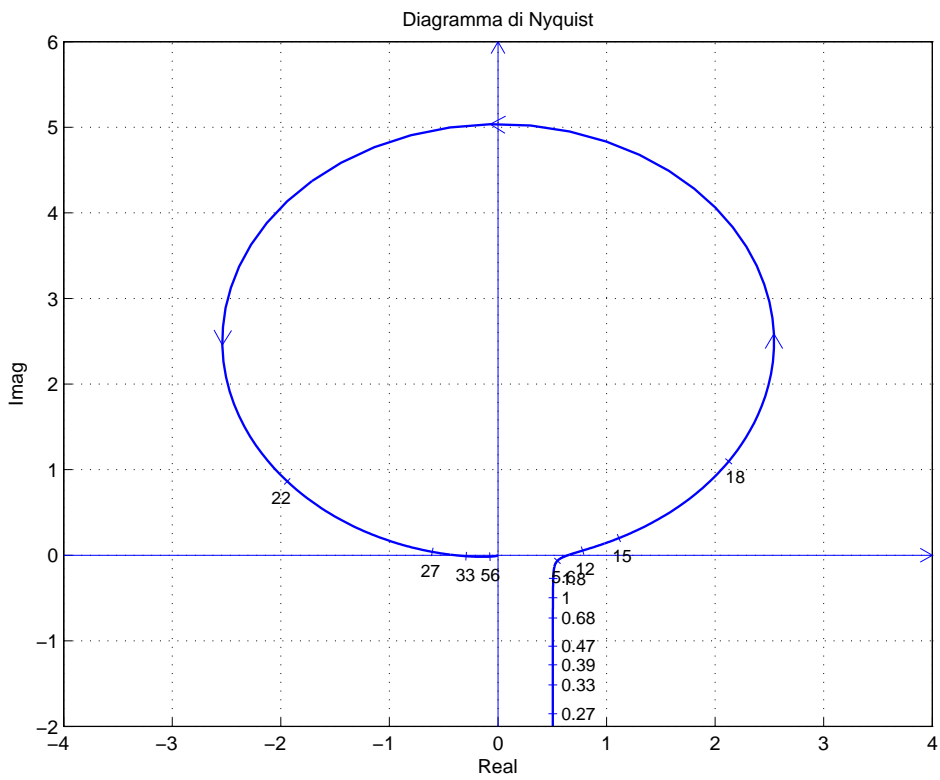


Figura 3: Diagramma di Nyquist della funzione  $G(s)$  per  $\omega \in [0, \infty]$ .

La variazione di fase che il sistema subisce per  $\omega \in ]0, \infty[$  è:

$$\Delta\varphi = \frac{\pi}{2} + \frac{\pi}{2} + \pi = 2\pi$$

Ne segue che il vettore  $G(j\omega)$  ruota di  $2\pi$  in senso antiorario per raggiungere la fase finale  $\varphi_\infty = \frac{3\pi}{2}$ . Per  $\omega \rightarrow \infty$  il diagramma arriva in ritardo rispetto alla fase finale  $\varphi_\infty = -\frac{\pi}{2}$  in quanto la somma  $\Delta_p$  delle pulsazioni critiche del sistema è negativa:

$$\Delta_p = -1 - 200 - 2 = -203 < 0.$$

Esiste una sola intersezione con il semiasse reale negativo. L'intersezione avviene nel punto:

$$\sigma^* = -\frac{1}{K^*} = -\frac{1}{2.56} = -0.3906$$

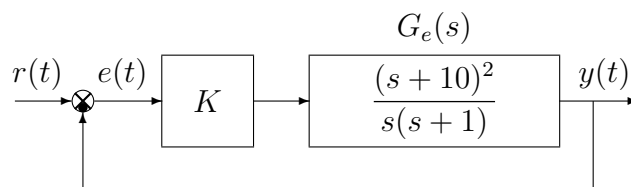
in corrispondente della pulsazione  $\omega^* = 30.24$ .

d.4) Calcolare il valore di  $K$  necessario per avere un errore a regime  $|e_v| = 0.01$  per ingresso a rampa  $x(t) = 6t$ .

Soluzione. L'errore a regime  $e_p$  del sistema retroazionato per ingresso a rampa  $x(t) = 6t$  è

$$e_v = \frac{R_0}{K_v} = \frac{6}{\frac{K}{2}} = 0.01 \quad \rightarrow \quad K = 1200.$$

e) Sia dato il seguente sistema retroazionato:



e.1) Determinare per quali valori di  $K$  il sistema retroazionato è asintoticamente stabile.

Soluzione.

L'equazione caratteristica del sistema retroazionato è:

$$1 + \frac{K(s+10)^2}{s(s+1)} = 0 \quad \rightarrow \quad (K+1)s^2 + (20K+1)s + 100K = 0.$$

La tabella di Routh ha la seguente struttura:

$$\begin{array}{c|cc} 2 & (K+1) & 100K \\ 1 & (20K+1) & \\ 0 & 100K & \end{array}$$

Il sistema retroazionato è stabile quando tutti i coefficienti della prima colonna della tabella di Routh hanno lo stesso segno: a) segno positivo:

$$\begin{cases} (1+K) > 0 \\ (20K+1) > 0 \\ 100K > 0 \end{cases} \quad \Rightarrow \quad K > 0$$

b) segno negativo:

$$\begin{cases} (1+K) < 0 \\ (20K+1) < 0 \\ 100K < 0 \end{cases} \quad \Rightarrow \quad K < -1$$

Il sistema retroazionato è quindi stabile per:

$$(K < -1) \cup (K > 0)$$

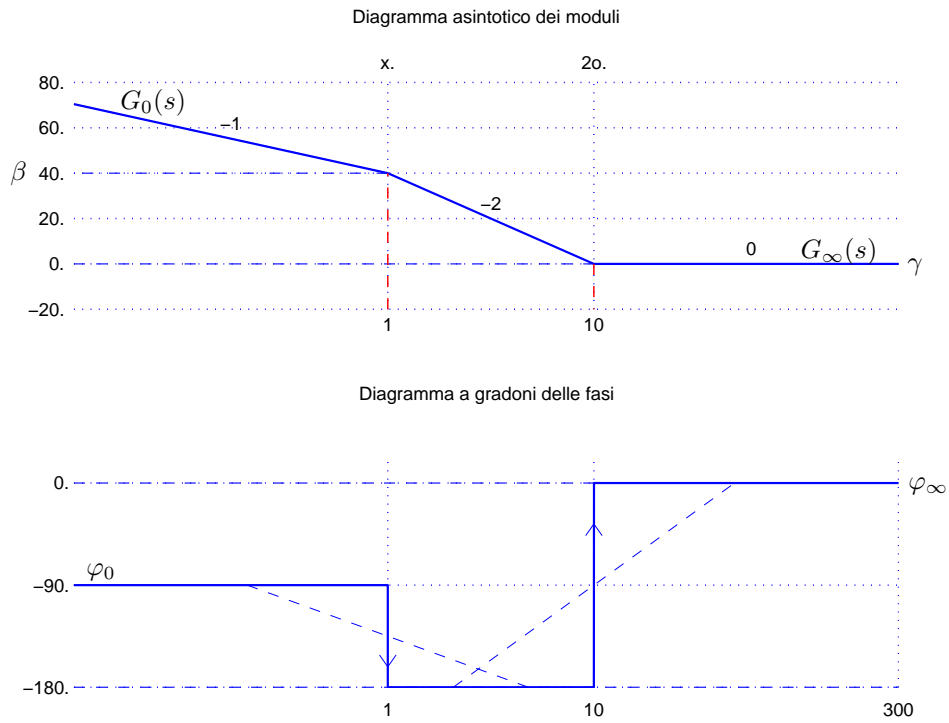


Figura 4: Diagrammi asintotici di Bode della funzione  $G_d(s)$ .

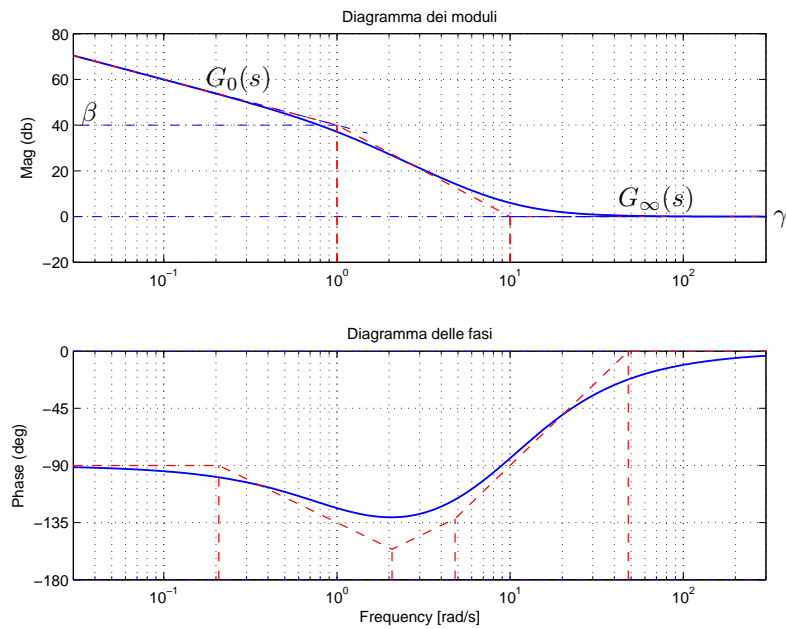


Figura 5: Diagrammi di Bode della funzione  $G_e(s)$ .

e.2) Tracciare i diagrammi asintotici di Bode delle ampiezze e delle fasi della funzione  $G_e(s)$ .

Soluzione.

I diagrammi “asintotici” di Bode della funzione  $G_d(s)$  sono mostrati in Fig. 4.

I diagrammi di Bode delle ampiezze e delle fasi della funzione  $G_e(s)$  sono mostrati in Fig. 5. Le funzioni approssimanti  $G_0(s)$  e  $G_\infty(s)$  per  $\omega \rightarrow 0$  ed  $\omega \rightarrow \infty$  sono le seguenti:

$$G_0(s) = \frac{K}{s} = \frac{100}{s}, \quad G_\infty(s) = 1$$

Le corrispondenti fasi  $\varphi_0$  e  $\varphi_\infty$  hanno il seguente valore:

$$\varphi_0 = -\frac{\pi}{2}, \quad \varphi_\infty = 0.$$

Sul diagramma asintotico delle ampiezze il guadagno  $\beta$  alla pulsazione  $\omega = 1$  e il guadagno  $\gamma$  alla pulsazione  $\omega = 10$  sono:

$$\beta = |G_0(s)|_{s=1} = 100 = 40 \text{ db}, \quad \gamma = |G_\infty(s)|_{s=10} = 1 = 0 \text{ db}.$$

e.3) Disegnare qualitativamente il diagramma di Nyquist “completo” della funzione  $G_e(s)$ . Calcolare esattamente la posizione  $\sigma_a$  dell’asintoto verticale e le eventuali intersezioni  $\sigma_i^*$  con l’asse reale.

Soluzione. Il diagramma di Nyquist della funzione  $G_e(s)$  è mostrato in Fig. 6. La fase iniziale

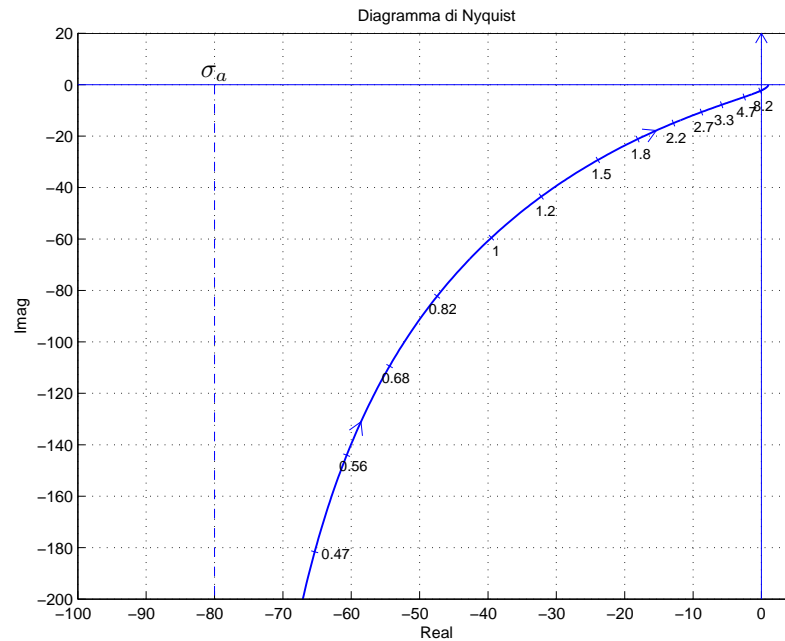


Figura 6: Diagramma di Nyquist della funzione  $G_e(s)$  per  $\omega \in [0, \infty]$ .

del sistema è  $\varphi_0 = -\frac{\pi}{2}$ . Per  $\omega \rightarrow 0^+$  il diagramma parte in ritardo rispetto alla fase iniziale:

$$\Delta\tau = \frac{2}{10} - 1 = -0.8 < 0.$$

Il sistema è di tipo 1 per cui esiste un asintoto:

$$\sigma_a = \Delta_\tau K = -80$$

La variazione di fase

$$\Delta\varphi = \pi - \frac{\pi}{2} = \frac{\pi}{2}$$

indica che il vettore  $G(j\omega)$  ruota di  $\frac{\pi}{2}$  in senso antiorario per raggiungere la fase finale  $\varphi_\infty = 0$ .

Esistono una sola intersezione  $\sigma^*$  con l'asse reale:

$$\sigma^* = -\frac{1}{K^*} = 1$$

e.4) Calcolare il valore di  $K$  necessario per avere un errore a regime  $|e_v| = 0.01$  per ingresso a rampa  $x(t) = 4t$ .

Soluzione. In questo caso l'errore a regime per ingresso a rampa  $x(t) = 4t$  è:

$$|e_v| = \frac{R_0}{|K_v|} = \frac{4}{100K} = 0.01 \quad \rightarrow \quad K = 4.$$

f) Si faccia riferimento ai diagrammi di Bode della funzione  $G(s)$  mostrati in figura.

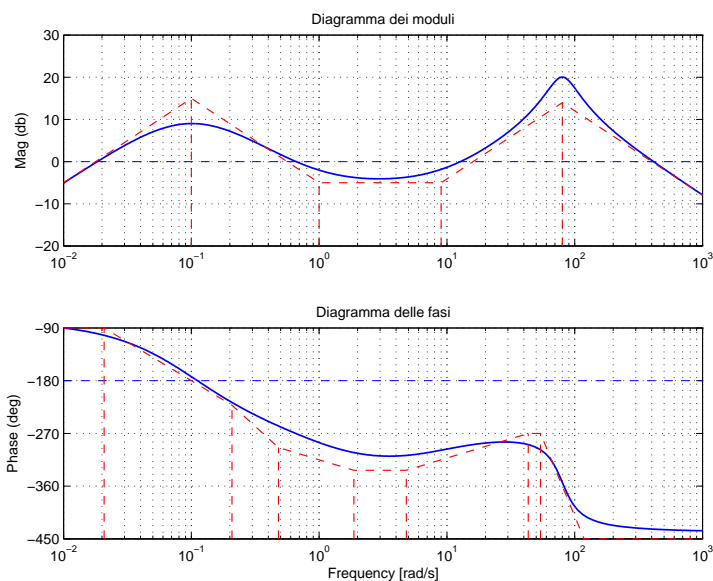
f.1) Nei limiti della precisione consentita dal grafico, ricavare l'espressione analitica della funzione  $G(s)$ .

$$G(s) = \frac{400s(s-1)(s+9)}{(s+0.1)^2(s^2+40s+6400)}.$$

Stimare in modo approssimato eventuali valori di  $\delta$ .

f.2) Calcolare la risposta a regime  $y_\infty(t)$  del sistema  $G(s)$  quando in ingresso è presente il segnale:

$$x(t) = 5 \cos(80t + \frac{\pi}{3}).$$



f.2) La risposta a regime del sistema  $G(s)$  al segnale dato è la seguente:

$$y_\infty(t) = 5 |G(80j)| \cos(80t + \frac{\pi}{3} + \arg G(80j)). \simeq 50 \cos(80t + \frac{\pi}{3} - 360^\circ).$$

Infatti si ha che  $G(80j) \simeq 10 e^{-360^\circ j}$ .

Soluzione:

f.1) La funzione di trasferimento del sistema è la seguente:

$$G(s) = \frac{400s(s-1)(s+9)}{(s+0.1)^2(s^2+40s+6400)}.$$

Il valore  $K = 100$  si determina, per esempio, calcolando il modulo  $\beta$  dell'approssimante  $G_0(s)$  in corrispondenza della pulsazione  $\omega = 0.1$ :

$$|G_0(s)|_{s=0.1j} = \left| \frac{-9Ks}{64} \right|_{s=0.1j} = \frac{0.9K}{64} = \beta \simeq 15 \text{ db} \simeq 5.62 \quad \rightarrow \quad K \simeq 400.$$

Il coefficiente di smorzamento della coppia di zeri complessi coniugati stabili è il seguente:

$$\delta = \frac{1}{2M_{\omega_n}} \simeq \frac{1}{4} = 0.25.$$

La distanza  $M_{\omega_n} \simeq 6 \text{ db} \simeq 2$  si legge dal diagramma di Bode dei moduli.



6. Calcolare il valore iniziale  $y_0 = \lim_{t \rightarrow 0^+} y(t)$  e il valore finale  $y_\infty = \lim_{t \rightarrow \infty} y(t)$  del segnale  $y(t)$  corrispondente alla seguente trasformata di Laplace  $Y(s)$ :

$$Y(s) = \frac{2(5-3s)(s+3)}{s(4s+1)(5s+10)} \quad \rightarrow \quad y_0 = -\frac{3}{10} \quad y_\infty = 3$$

7. In figura sono mostrati i diagrammi di Bode di un sistema lineare  $G(s)$  a fase minima. Nei limiti della precisione del grafico, calcolare:

- a) la posizione della coppia di poli dominanti  $p_{1,2}$  del sistema  $G(s)$ :

$$p_{1,2} \simeq -0.4 \pm j0.693.$$

- b) il tempo di assestamento  $T_a$  della risposta al gradino del sistema  $G(s)$ :

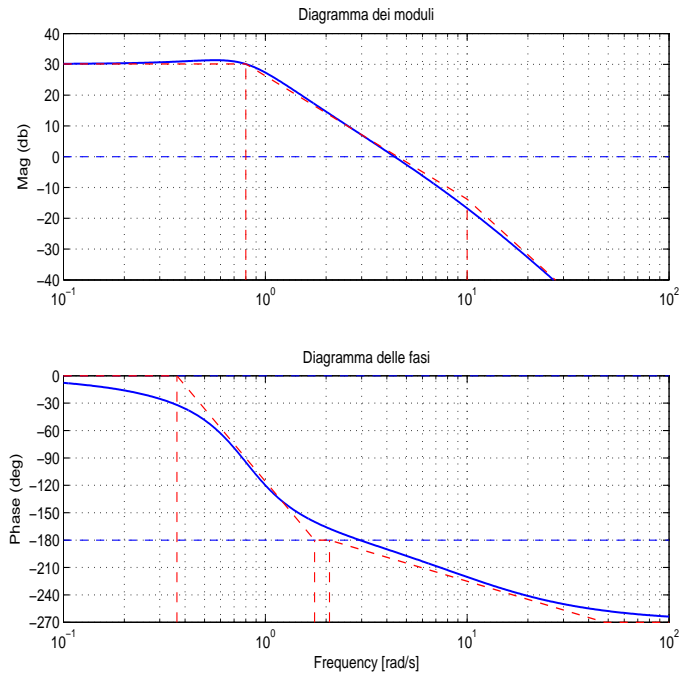
$$T_a \simeq \frac{3}{0.4} \text{ s} = 7.5 \text{ s}.$$

- c) i margini di stabilità del sistema  $G(s)$ :

$$M_\varphi \simeq -10^\circ, \quad M_a \simeq 0.5,$$

- d) l'errore a regime del sistema retroazionato per ingresso a gradino unitario:

$$e_p \simeq \frac{R_0}{1+32} = \frac{1}{33} \simeq 0.03$$



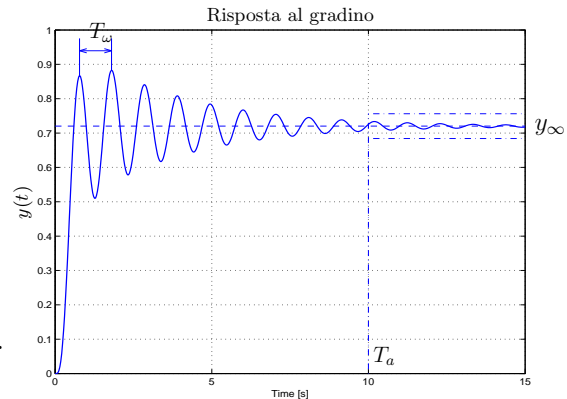
8. Disegnare l'andamento qualitativo  $y_1(t)$  della risposta al gradino unitario del seguente sistema:

$$G(s) = \frac{500(2+0.3s)(s^2+25s+70^2)}{(5s+21)(3s+10)(s^2+10s+900)(s^2+0.6s+36)}$$

Calcolare inoltre:

- a) il valore a regime  $y_\infty$  della risposta al gradino per  $t \rightarrow \infty$ ;  
 b) il tempo di assestamento  $T_a$  della risposta al gradino  $y_1(t)$ ;  
 c) il periodo  $T_\omega$  dell'eventuale oscillazione smorzata presente sul segnale  $y_1(t)$ :

$$y_\infty = 0.72, \quad T_a \simeq 10 \text{ s}, \quad T_\omega \simeq \frac{2\pi}{6} = 1.05 \text{ s}.$$



9. Scrivere il modulo  $M(\omega) = |G(j\omega)|$  e la fase  $\varphi(\omega) = \arg G(j\omega)$  della funzione di risposta armonica del seguente sistema  $G(s)$  supponendo  $t_0 > 0$ :

$$G(s) = \frac{(2s+3)^2}{s(5s-2)} e^{-3t_0s} \quad \rightarrow \quad \begin{cases} M(\omega) = \frac{4\omega^2+9}{\omega\sqrt{4+25\omega^2}} \\ \varphi(\omega) = 2 \arctan \frac{2\omega}{3} - 3t_0\omega - \frac{\pi}{2} - \pi + \arctan \frac{5\omega}{2} \end{cases}$$

Diagramma dei moduli:  $G_d(s)$

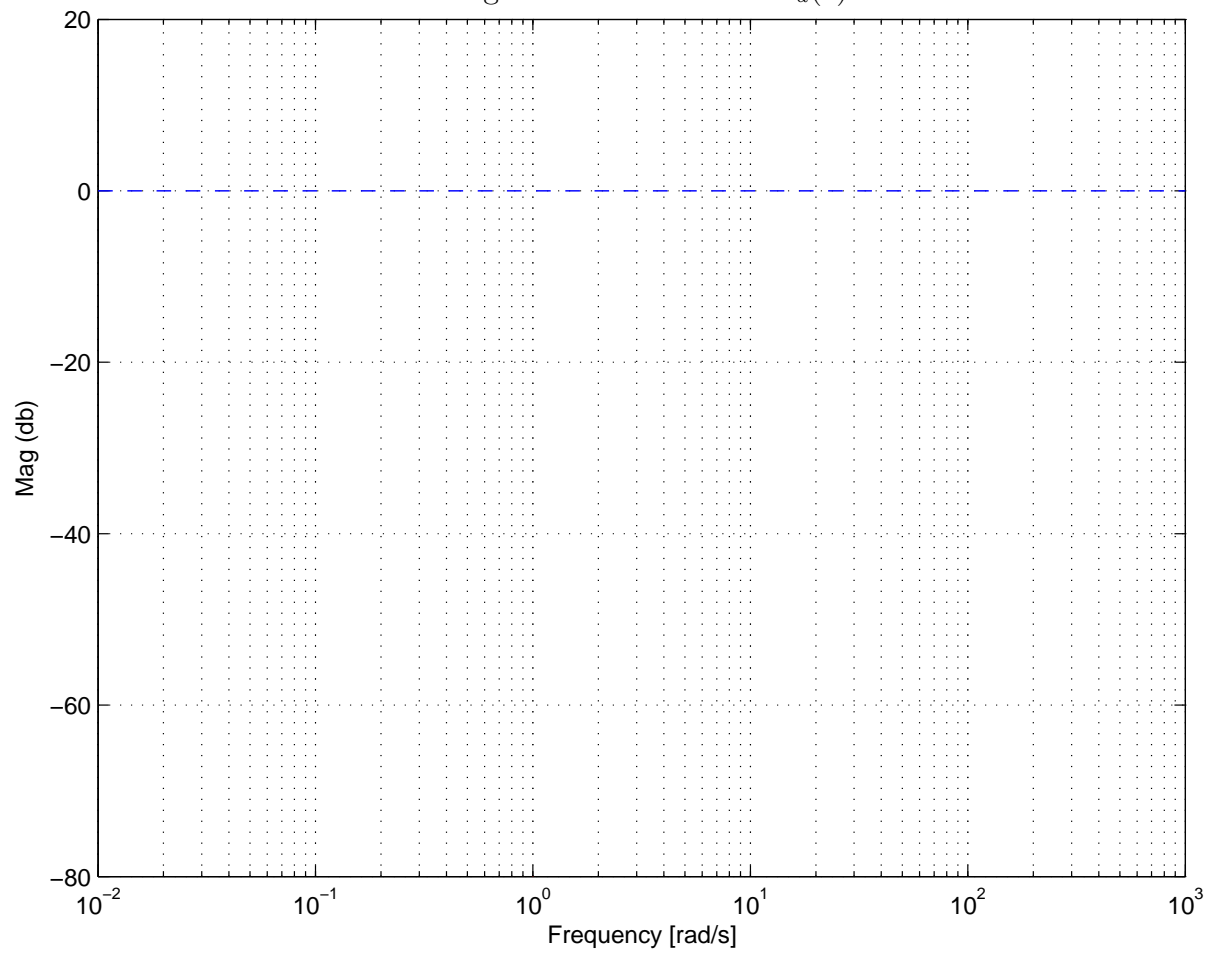


Diagramma delle fasi:  $G_d(s)$

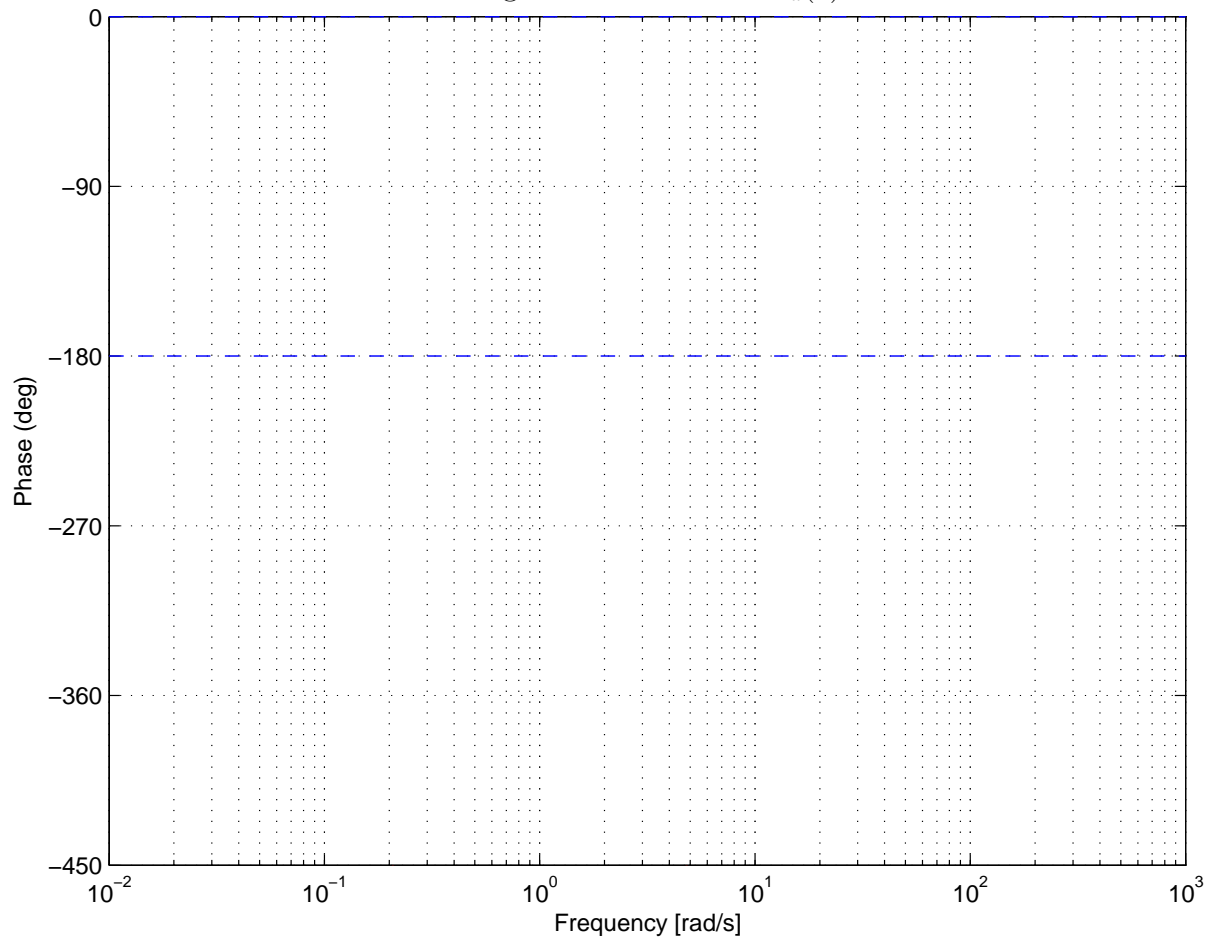


Diagramma dei moduli:  $G_e(s)$

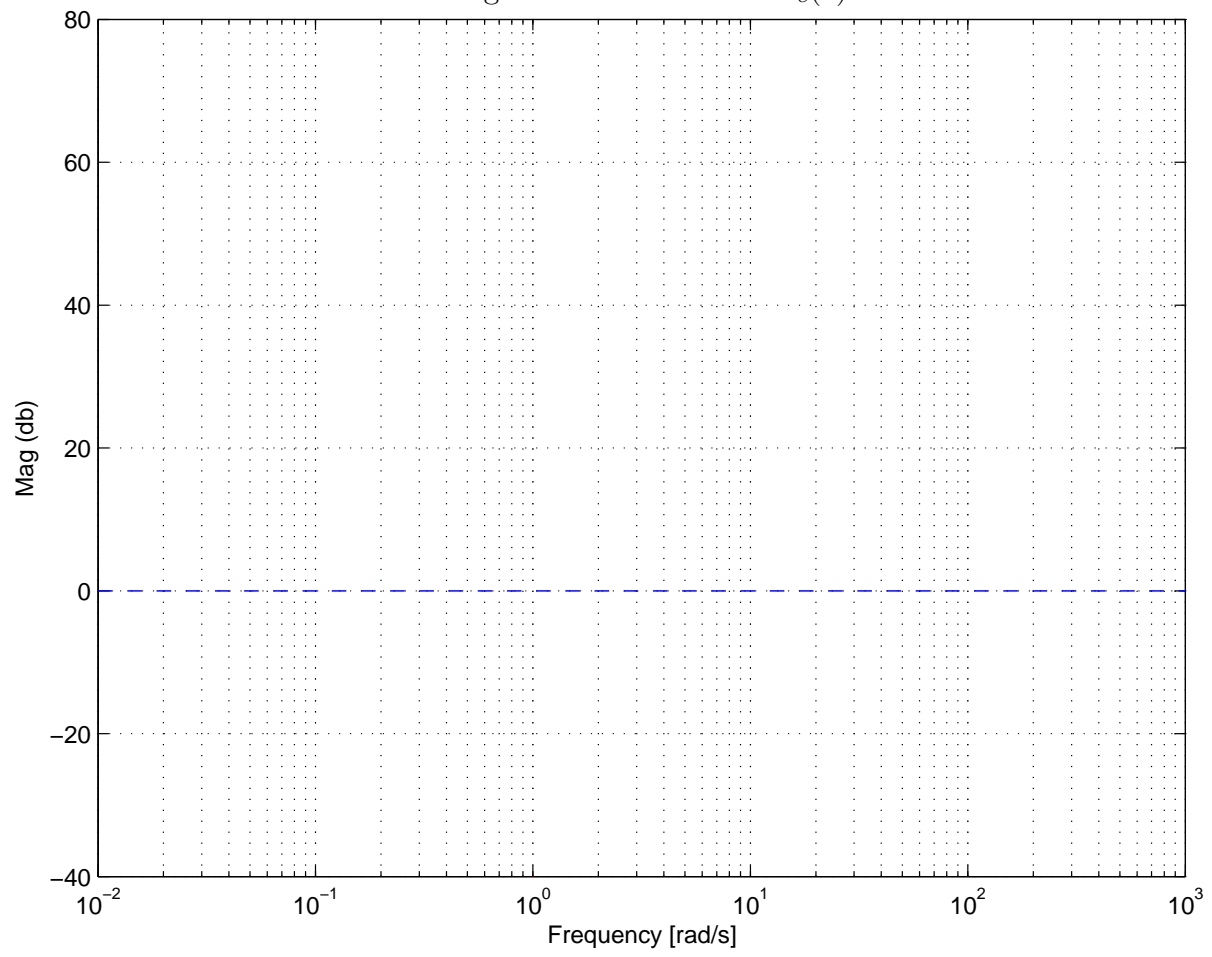


Diagramma delle fasi:  $G_e(s)$

